• 基础研究 •

L-精氨酸对糖尿病大鼠心肌损伤的影响

董 敏,陈秀芳,方周溪,雷康福,管 瑜

【摘要】目的 研究 L-精氨酸(L-Arg)对糖尿病(DM)大鼠心肌的保护作用。方法 28 只大鼠腹腔注射链脲 佐荫素(60 mg/kg)制备 DM 模型,随机均分为 DM 组、L-Arg(300 mg/(kg·d))治疗组。另设立正常对照(NC)组(n=12)。用药 12 周末处死大鼠,用透射电镜观察 3 组大鼠心肌细胞的形态学改变,采用 RT-PCR 检测心肌组织内皮型一氧化氮合酶(cNOS)、诱导型一氧化氮合酶(iNOS)、内皮素-1 (ET-1) mRNA 的表达水平,并测定心肌组织内eNOS,iNOS、Na'-K'-ATP酶、Ca'-ATP酶活性以及一氧化氮(NO)、ET-1 的含量。结果 电镜下可见 DM 组大鼠心肌细胞肌原纤维含量明显减少,肌浆网扩张,线粒体肿胀变性。DM 组大鼠 eNOS mRNA 表达、Na'-K'-ATP酶、Ca'-ATP酶活性及 NO含量明显低于 NC组,而 ET-1 mRNA 表达及 ET-1 含量明显高于 NC组。 L-Arg组大鼠心肌病变明显减轻,eNOS mRNA 表达、Na'-K'-ATP酶、Ca²+ATP酶活性及 NO含量明显低于 DM组,ET-1 mRNA表达及 ET-1 含量明显低于 DM组。结论 L-Arg对 DM大鼠心肌具有保护作用,其机制可能与 L-Arg增加心肌组织 NO含量、降低 ET-1 含量,改善心肌血供有关。

【关键词】 L-精氨酸;糖尿病;心肌;一氧化氮;内皮素-1;基因表达;大鼠

【中图分类号】 R587.1

【文献标识码】 A

【文章编号】 1671-5403(2010)05-0449-05

Protective effect of L-arginine on myocardial impairment in diabetic rats

DONG Min, CHEN Xiufang, FANG Zhouxi, et al

Central Laboratory of Biology, Wenzhou Medical College, Wenzhou 325035, China

[Abstract] Objective To explore the protective effects of L-arginine (L-Arg) on the myocardial tissue of diabetic rats. Methods The rat models of diabetes mellitus (DM) (n = 28) were made by intraperitoneal injection of streptozotocin (60 mg/kg), and allocated into DM group (n = 14) and L-Arg treatment group (300 mg/(kg · d)) (L-Arg group) (n=14) at random. Another 12 normal rats served as normal control group (NC group). After 12 weeks, the rats were sacrificed. Morphological changes in myocardium in 3 groups were observed under transmission electromicroscope (TEM). The mRNA expression levels of endothelial nitric oxide synthase (eNOS), inducible NOS (iNOS) and endothelin (ET-1) in myocardial tissue were determined by reverse transcription polymerase chain reaction (RT-PCR). The activity of eNOS, iNOS, Na'-K'-ATPase, Ca2'-ATPase and the content of NO, ET-1 in bril, dilation of sarcoplasmic reticulum and swelling of mitochondria of myocardial tissue. Compared with NC rats, the mRNA expression level of eNOS and the activity of Na'-K'-ATPase, Ca2'-ATPase, as well as the NO content decreased, but the mRNA expression and content of ET-1 increased in DM rats. The pathological changes in myocardium induced by intraperitoneal injection of streptozotocin were reversed in L-Arg group. Compared with DM rats, the mRNA expression level of eNOS, the activity of Na+-K+-ATPase, Ca2+-ATPase and the content of NO increased, but the mRNA expression and content of ET-1 decreased in L-Arg group. Conclusion L-Arg exerts protective effects on diabetic myocardium, which may be through increasing the N() content and decreasing the ET-1 content, so as to improve the blood supply of myocardial tissue.

[Key words] L-arginine; diabetes mellitus; myocardium; nitric oxide; endothelin-1; gene expression; rats

高血糖可导致多种器官的长期损害和严重的并发症,其中糖尿病性心肌病是糖尿病(diabetes mellitus,DM)致死的主要原因之一,其病理基础是心肌内微血管病变[1]。一氧化氮(nitric oxide, NO)/内皮素-1(endothelin-1,ET-1)是一对作用较

强的舒张/收缩血管因子,二者相互作用,平衡维持血管的舒缩功能和正常张力。L-精氨酸(L-arginine,L-Arg)作为 N() 合成的前体物质,具有促进体内 N() 合成、降低血糖、促进胰岛 β细胞分泌胰岛素等作用^[2]。我们以往的研究初步表明,L-Arg 可减

基金项目:温州市科技局科研基金资助项目(Y200602039);温州医学院科研发展基金资助项目(XNK04036)

作者单位:325035 温州市,温州医学院生物学实验中心(董 敏,方周溪,管 瑜),生化教研室(陈秀芳,雷康福)

通讯作者:陈秀芳,Tel:13676703094;E-mail:wzyxydm@yahoo.cn

轻 DM 大鼠心肌氧化应激损伤^[3,4],但其作用机制尚未完全阐明。本研究采用链脲佐菌素(streptozotocin,STZ)诱导制备 DM 大鼠模型,观察 L-Arg 对 DM 大鼠心肌形态学的影响,并测定心肌组织中NO、ET-1 含量及内皮型一氧化氮合酶(endothelial nitric oxide synthase, eNOS)、诱导型 NOS(inducible NOS, iNOS) 和 ET-1 的基因表达及 NOS、Ca²⁺-ATP 酶、Na⁺-K⁺-ATP 酶活性,探讨 L-Arg 对 DM 大鼠心肌的保护作用。

1 材料和方法

- 1.1 动物 清洁级(Ⅱ级) Sprague-Dawley (SD) 大鼠 40只,体质量 180~220g, 2月龄(由温州医学院实验动物中心提供)。
- 1.2 药品与试剂 STZ和 L-Arg 均为美国 Sigma 公司 产品; NO、NOS、iNOS、Na⁻-K⁻-ATP 酶、Ca²⁺-ATP 酶检测试剂盒购自南京建成生物工程公司; ET-1 放射免疫分析测试药盒由解放军总医院东亚免疫技术研究所提供; Trizol 试剂 RNA 提取试剂盒、RT-PCR 试剂盒、DNA 标志物由宝生物工程(大连)有限公司提供; eNOS、iNOS、ET-1 及 GAP-DH 引物序列由上海生物工程技术服务有限公司合成; 血糖仪及测试条由强生(中国) 医疗器材有限公司提供。
- 1.3 动物分组和处理 随机取 12 只大鼠作为正常对照(NC)组,余 28 只大鼠禁食 12 h后,用 STZ 一次性左下腹腔注射(60 mg/kg),72 h后取尾血用快速血糖仪测血糖,≥16.8 mmol/L 为 DM 制模成功,再将 DM 大鼠随机均分为 2 组:DM 模型组;L-Arg治疗组,每只每天腹腔注射 L-Arg 300 mg/kg。NC 及 DM 组大鼠每只每天腹腔注射等体积生理盐水,各组大鼠每天在规定时间内用药,于同等条件下饲养 12 周。
- 1.4 标本采集 大鼠给药处理 12 周后,股动脉放血处死,开胸取出心脏,留取电镜标本后,迅速用4℃生理盐水冲洗血液,放入液氮中速冻过夜后移至-70℃冰箱中保存备用。
- 1.5 透射电镜标本的制备 大鼠处死后立即取左心室心肌,切成 1 mm×1 mm×1 mm 小块,迅速置 2.5% 戊二醛 4℃固定 1 h,常规 PBS 漂洗、丙酮梯度脱水,Epon812 包埋,LKB-V 型超薄切片机切片,铅铀双重染色,HITACHI 7500 型透射电镜下观察。
- 1.6 心肌组织匀浆的制备及生化指标测定 取心肌组织用 4℃预冷生理盐水洗净血液,滤纸吸干水分后称重,每克心肌组织加 10 ml 生理盐水,在冰浴条件下置匀浆机上 10 000 r/min 研磨 10 s,3 次,制备 10%匀浆。4 000 r/min 离心 10 min,取上清液一20℃保存待测。NOS 及 iNOS 活性用化学比色法、Na*-K*-ATP 酶及 Ca²+-ATP 酶活性用定磷

法、NO 含量用硝酸还原酶法、ET-1 用放射免疫法测定,均按试剂盒说明书操作。以双缩脲法测定蛋白质含量。

1.7 心肌组织 eNOS、iNOS、ET-1 mRNA 表达的 测定 取冻存的心肌组织,经 Trizol 一步法提取总 RNA,紫外分光光度法定量后,按照逆转录试剂盒说明,以 oligo(dT)为引物合成 cDNA,一20℃保存备用。根据 GenBank 资料,以 eNOS、iNOS、ET-1 mRNA 和 GAPDH mRNA 为模板,用软件 Primer 3 设计引物(表 1)。优化 PCR 条件,分别进行eNOS、iNOS、ET-1与 GAPDH 的共扩增。扩增产物经 1.5% 琼脂糖凝胶电泳后用凝胶成像仪观察,用 Image Master 软件半定量分析条带峰面积,分别计算 eNOS、iNOS、ET-1与 GAPDH 峰面积的比值。

表 1 大鼠 ET-1、eNOS、iNOS 及 GAPDH 引物序列

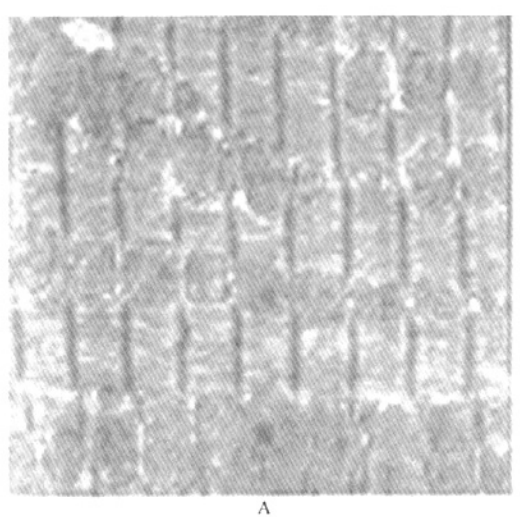
基因	引物序列	PCR 产物 (bp)
eNOS	5'-CTGCTGCCCGAGATATCTTC-3'	
iNOS	5'-GCGGGGAAGTGATGTCCAG-3' 5'-CCCTAAGAGTCACAAGCATC-3'	453
	5'-CAGAGTGAGCTGGTAGGTTC-3'	412
ET-1	5'-CGTTGCTCCTGCTCCTTGATGG-3'	
	5'-AAGATCCCAGCCAGCATGGAGAGCG -3'	546
GAP- DH	5'-ACTCAGAAGACTGTGGATGG-3'	
	5'-TGTTGAAGTCACAGGAGACA-3'	313

注:eNOS:內皮型一氧化氮合酶;iNOS:诱导型一氧化氮合酶;ET-1:內皮素-1

1.8 统计学处理 数据用均数士标准差表示,各组间比较采用完全随机方差分析(one-way ANO-VA),组间比较用最小显著性差异(least-significant difference,LSD)检验。

2 结 果

2.1 电镜下各组大鼠心肌组织超微结构的变化 NC 组大鼠心肌细胞肌丝排列整齐、致密,明暗带清晰可见;线粒体正常,圆形或椭圆形,嵴发达、明显,排列密集(图 1A)。 DM 组大鼠心肌细胞肌丝疏松,部分肌丝断裂、溶解,形成溶解灶,肌浆网扩张,肌膜下有明显水肿,肌原纤维间隙有少量脂质颗粒沉积;线粒体排列紊乱,有明显的聚集现象,嵴模糊,局灶性空泡(图 1B)。 L-Arg 治疗组以生排列整齐,稍稀疏,肌膜下水肿减轻,有极少量脂质颗粒沉积,大部分线粒体嵴清晰、致密,没有空泡形成(图 1C)。





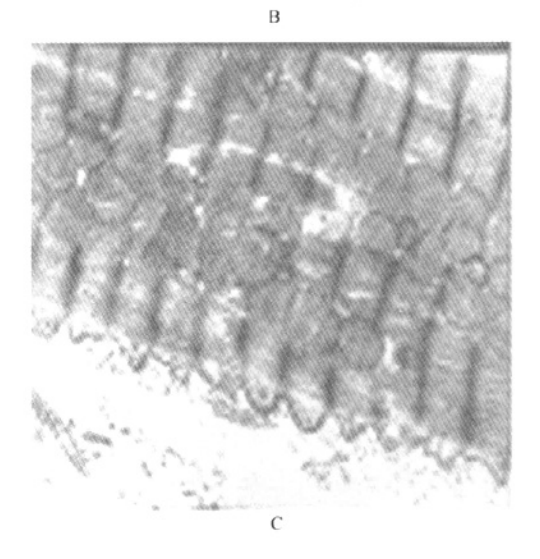


图 1 各组大鼠心肌组织超微结构 (TEM×10 000) A:正常对照组;B:DM 模型组;C:L-Arg 治疗组

- 2.2 各组大鼠血糖含量的变化 3组大鼠血糖含量分别为 NC组(6.3±1.2) mmol/L, DM组(20.5±1.1) mmol/L, L-Arg组(15.6±3.4) mmol/L。DM组大鼠血糖含量明显高于 NC组(P<0.01),给予L-Arg治疗后,血糖含量显著降低(P<0.01)。
- 2.3 各组大鼠心肌 NO、NOS、iNOS、ET-1 含量的变化 DM组大鼠心肌 NO含量明显低于 NC组(P<0.05),ET-1明显高于 NC组(P<0.01),给予 L-Arg治疗后,NO含量显著升高(P<0.01),ET-1明显降低(P<0.05;表 2)。 NOS、iNOS 活性变化各组无明显差异。
- 2.4 各组大鼠心肌组织 Na^+-K^+-ATP 酶、 $Ca^{2+}-ATP$ 酶活性变化 心肌组织中 Na^+-K^+-ATP 酶、 $Ca^{2+}-ATP$ 酶活性 DM 组比 NC 组明显降低 (P < 0.05),补充外源性 L-Arg 后, Na^+-K^+-ATP 酶、 $Ca^{2+}-ATP$ 酶活性显著高于 DM 组 (P < 0.01, P < 0.05; 表 3)。
- 2.5 心肌组织 eNOS、iNOS 和 ET-1 mRNA 的表达 DM 组大鼠心肌组织 eNOS mRNA 的表达均 明显低于 NC 组(P<0.01),而 ET-1 mRNA 的表达明显高于 NC 组(P<0.01);L-Arg 可上调心肌组织 eNOS mRNA 的表达(P<0.01),抑制 ET-1 mRNA 的表达(P<0.01);iNOS mRNA 的表达 3 组间差异无统计学意义(表 4,图 2)。

3 讨论

DM 导致死亡的一个首要因素是心肌病变。近年来,临床和动物实验研究越来越支持 DM 心脏病的独立存在^[5,6]。研究者们认为,这是一组独立的、特异的心肌病。本实验发现 DM 大鼠心肌透射电镜下主要表现为肌原纤维含量明显减少,排列紊乱,肌浆网扩张,线粒体肿胀变性,与周斌全等[7]的报道基本一致。

在心脏,NO由 L-Arg 和 O₂ 在 NADPH、四氢生物蝶呤(BH₄)等辅助下经 N()S 催化合成。N()S 是 N() 合成的限速酶,有 3 种亚型,包括 eN()S、神经元型 N()S(neuronal N()S,nN()S)和 iN()S。N() 作为机体内重要的信使分子和效应分子除可扩张血管外,还具有抑制血小板聚集,抑制血管平滑肌细胞增殖,防止血管痉挛和血栓形成等作用[8]。本实验结果显示,DM 组大鼠心肌组织 eN()S mRNA表达及 N() 含量均较正常组明显降低,提示 DM 大鼠心肌 N() 的含量降低,血管舒张功能受损,心肌组织缺血缺氧,造成心肌组织结构或功能损伤。DM 时体内 N() 的合成减少可能有以下几方面的原因:(1)长期持续的高血糖引起血管内皮细胞完整性改

组别	n	NO (μmol/g 蛋白)	NOS (kU/g 蛋白)	iNOS (kU/g 蛋白)	ET-1 (ng/g 蛋白
NC	12	0.20±0.04°	0.58±0.13	0.45±0.13	24±6**
DM	14	0.14 ± 0.08	0.65 ± 0.20	0.35 ± 0.04	34 ± 4
L-Arg	14	0.21±0.08··	0.76 ± 0.31	0.38 ± 0.14	27±8°

表 2 各组大鼠心肌 NO、NOS、iNOS、ET-1 含量的变化(x±s)

注: DM: 糖尿病模型组; L-Arg: L-Arg 治疗组; NC: 正常对照组。与 DM 组比较, *P<0.05, *P<0.01

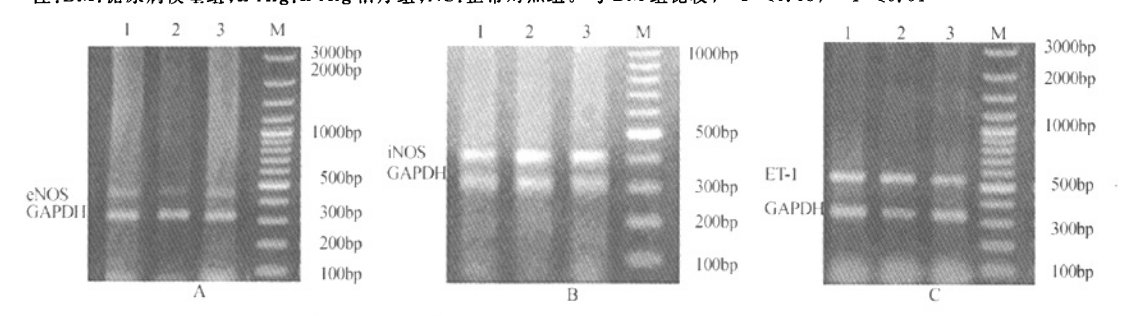


图 2 各组大鼠心肌组织 eNOS, iNOS, ET-1 mRNA 的表达

A;eNOS mRNA;B;iNOS mRNA;C;ET-1 mRNA;1;NC 组;2;DM 组;3;L-Arg 组;M;DNA 标志物

表 3 各组大鼠心肌组织 Na⁺-K⁺-ATP 酶、 Ca²⁺-ATP 酶活性变化(x±s)

		Na'-K'-ATP酶	Ca2·-ATP 酶
组别	n	[μmol pi/(mg	∫μmol pi/(mg
		蛋白・h)]	蛋白·h)]
NC	12	1.65±0.36*	1.67±0.63°
DM	14	1.18 ± 0.21	1.13 ± 0.26
L-Arg	14	1.80±0.73 · ·	1.76±0.66°

注:DM:糖尿病模型组;L-Arg:L-Arg 治疗组;NC:正常对 照组。与 DM 组比较, P<0.05, P<0.01

表 4 3 组大鼠心肌组织 eNOS、iNOS 和 ET-1 mRNA 表达的比较(x±s)

		eNOS	iNOS	ET-1
组别	n	mRNA/	mRNA/	mRNA/
		GAPDH	GAPDH	GAPDH
NC	12	0.80±0.23**	1.10±0.23	1.28±0.40°
DM	14	0.47±0.17	1.23±0.29	2.11±0.45
L-Arg	14	0.80±0.31··	1.07±0.15	1.09±0.36**

注:DM:糖尿病模型组;L-Arg:L-Arg:h疗组;NC:正常对 照组;eNOS:内皮型一氧化氮合酶;iNOS:诱导型一氧化氮 合酶。与 DM 组比较,*P<0.05,**P<0.01

变,使血管内皮细胞合成 NO 减少;(2)长期高血糖 状态使 eNOS 的基因表达减少,进而 eNOS 合成减 少而使 NO 合成减少^[9];(3)DM 状态下机体 L-Arg 水平降低,使 NO 合成底物不足而致 NO 合成减 少^[2];(4)DM 长期高血糖激活多元醇代谢途径,使 NADPH 的消耗增多,使同样以 NADPH 为必需辅助 因子的 NOS 活性受到抑制,NO 合成减少;而且 NO 的减少又使多元醇代谢途径进一步增强,NO的合成进一步减少^[10];(5)DM 状态下 GTP 环水解酶I(BH,生物合成限速酶)的表达减少,BH,合成不足致使NO合成减少^[2];(6)DM 长期高糖状态机体氧自由基生成增多,NO灭活增加。补充外源性 L-Arg 后,DM 大鼠心肌组织 NO 含量明显升高,这可能与 L-Arg 促进 GTP 环水解酶I的表达,BH,合成增多,进而 NO 合成增多有关^[2]。

ET-1/NO 是一对具有拮抗作用的血管活性物质。ET-1 是迄今所知体内作用最强的缩血管物质,也是血管内皮损伤的标记物,其过量释放可通过影响血流动力学的改变而参与微血管病变的发生[11]。 生理状态下,ET-1/NO 处于动态平衡状态,使血管保持正常张力。DM 高血糖引起 ET-1 mRNA 的高表达,使 ET-1 水平升高,而高水平的 ET-1 与心肌组织血流减少及结构功能损伤有关。

L-Arg 是一种多功能氨基酸,具有清除氧自由基^[3,4,12]、调节机体免疫功能、促进伤口愈合、调节血管张力、保护血管内皮功能等作用^[12]。本研究应用L-Arg 治疗后,DM 大鼠心肌组织病变明显减轻,eNOS 表达明显增加,ET-1 表达显著降低,NOS、Ca²⁺-ATP酶、Na⁺-K⁺-ATP酶活性及 NO 含量明显升高,而 ET-1 含量明显降低,提示 L-Arg 对 DM大鼠心肌有保护作用。L-Arg 可能是通过增加 DM大鼠心肌组织 NO 含量、降低 ET-1 含量,改善心肌血供,从而减轻高血糖所致的心肌损伤。

【参考文献】

[1] Hamby RI, Zoneraich S, Sherman L. Diabetic cardio-

- myopathy[J]. JAMA, 1974, 229(13):1749-1754.
- [2] Kohli R, Meininger CJ, Haynes TE, et al. Dietary L-arginine supplementation enhances endothelial nitric oxide synthesis in streptozotocin-induced diabetic rats [J]. J Nutr, 2004,134(3): 600-608.
- [3] 陈秀芳, 雷康福, 董 敏, 等. L. 精氨酸对糖尿病大鼠 心肌损伤的保护作用[J]. 中国老年学杂志, 2005, 25 (2):184-186.
- [4] 陈秀芳, 董 敏, 雷康福, 等. L-精氨酸对糖尿病模型 大鼠肝、心肌及膈肌线粒体自由基损伤的保护作用[J]. 中国老年学杂志, 2005, 25(8): 951-953.
- [5] Van Hoeven KH, Factor SM. Diabetic heart disease: the clinical and pathological spectrum-Part I [J]. Clin Cardiol, 1989, 12(10); 600-604.
- [6] Zarich SW, Nesto RW. Diabetic cardiomyopathy [J].
 Am Heart J, 1989, 118(5 Pt 1), 1000-1012.
- [7] 周斌全,胡申江.糖尿病大鼠心肌超微结构及钙离子调 控蛋白基因表达的改变[J]. 浙江大学学报(医学版), 2005,34(5):454-458.
- [8] Schmetterer L, Polak K. Role of nitric oxide in the

- control of ocular blood[J]. Prog Retin Eye Res, 2001, 20(6):823-847.
- [9] Akingba AG, Burnett AL. Endothelial nitric oxide synthase protein expression, localization, and activity in the penis of the alloxan-induced diabetic rat[J]. Mol Urol, 2001, 5(4):189-197.
- [10] Stevens MJ, Dananberg J, Feldman EL, et al. The linked roles of nitric oxide, aldose reductase and Na'-K'-ATPase in the slowing of nerve conduction in the streptozotocin diabetic rat[J]. J Clin Invest, 1994,94(2): 853-859.
- [11] Nakao N, Senou H, Kasuga H, et al. Kidney and hypertension-evidence based medicine [J]. Nippon Naika Gakkai Zasshi, 2004,93 (8): 1639-1945.
- [12] Tong BC, Barbul A. Cellular and physiological effects of arginine[J]. Mini Rev Med Chem, 2004, 4(8):823-832.

(收稿日期:2009-02-12;修回日期:2010-04-01)

(上接第 444 页)

总之,本研究显示,老年 OSAHS 呼吸紊乱严重程度明显低于中青年组并独立于 BMI;呼吸紊乱、反复低氧及反复微觉醒可能对老年人醒后血压升高有一定的贡献;老年 OSAHS 外科手术及口腔矫治器接受率明显低于中青年组。提高对老年OSAHS临床特点的认识,有助于老年 OSAHS 的诊治。

【参考文献】

- [1] Ancoll-Israel S, Aayalon L. Diagnosis and treatment of sleep disorders in older adults [J]. Am J Geriatr Psychiatry, 2006, 14(2):95-103.
- [2] Young T, Shahar E, Nieto FJ, et al. Predictors of sleep-disordered breathing in community-dwelling adults: The Sleep Heart Health Study [J]. Arch Intern Med, 2002, 162(8):893-900.
- [3] Janssens JP, Pautex S, Hilleret H, et al. Sleep disordered breathing in the elderly [J]. Aging, 2000, 12 (6):417-429.
- [4] Rechtsaffen A, Kales AA. A manual of standardized terminology, techniques and scoring for sleep stages of human subjects[M]. Washington; Government Printing Office, 1968; 204.
- [5] The Report of an American Academy of Sleep Medicine

- Task Force. Sleep-related breathing disorders in adults: recommendations for syndrome definition and measurement techniques in clinical research [J]. Sleep, 1999, 22(5):667-689.
- [6] Ancoll-Israel S. Sleep disorders in older adults [J]. Geriatrics, 2004,59(1):37-40.
- [7] 傳卜年,王世玉,黄衣琴. 老年人阻塞性睡眠呼吸暂停低通气综合征的临床特点[J]. 现代实用医学,2003,15(2):88-90.
- [8] Grote L, Hedne J, Peter JH. Mean blood pressure, pulse pressure and grade of hypertension in untreated hypertension patients with sleep related breathing disorder[J]. J Hypertens, 2001,19(4):683-690.
- [9] 欧 琼,高兴林. 老年睡眠呼吸暂停综合征治疗情况 分析[J]. 广东医学,2004,25(1);11-12.
- [10] Jones TM, Earis JE, Calverley PM, et al. Snoring surgery: a retrospective review[J]. Laryngoscope, 2005; 115(11):2010-2015.
- [11] Mohsenin N, Mostofi MT, Mohsenin V. The role of oral appliances in treating obstructive sleep apnea[J].
 J Am Dent Assoc, 2003,134(4):442-449.

(收稿日期:2009-06-29;修回日期:2009-12-25)